

Постоянство постоянных

Антон Соколов

научный руководитель: доктор физ.-мат. наук С.В.Троицкий

Московский Государственный Университет
им. М. В. Ломоносова
Физический факультет

13 мая

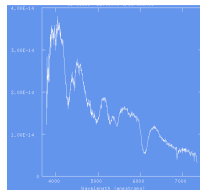
Введение

Изучение возможного пространственно-временного изменения констант является важной задачей для понимания фундаментальных законов физики.

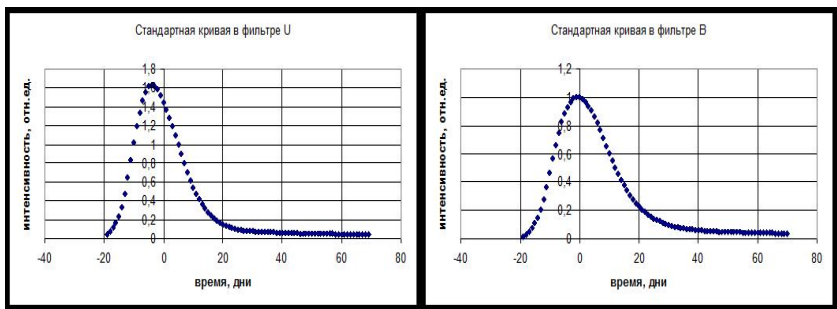
Сверхновые типа Ia предоставляют возможность наложить ограничение на изменение постоянной распада ^{56}Ni и на вариацию константы Ферми четырёхфермионного взаимодействия.

Сверхновые типа Ia

- Хорошо выделяются за счёт линии поглощения кремния в спектре.
- Предполагаемый сценарий взрыва: две звезды, одна из которых белый карлик; в результате аккреции вещества она достигает предела Чандraseкара.
- Используются в качестве стандартных свеч.

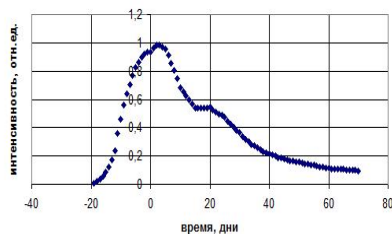


Стандартные кривые блеска

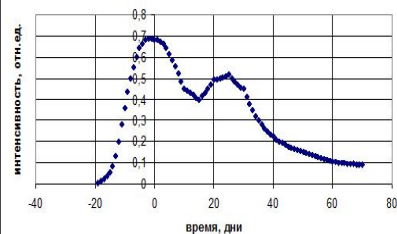


Стандартные кривые блеска

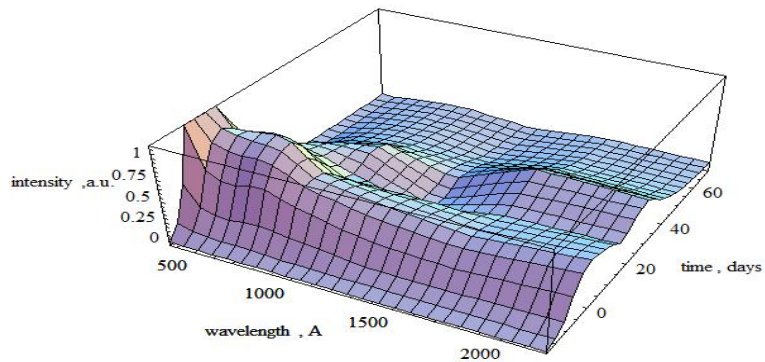
Стандартная кривая в фильтре R



Стандартная кривая в фильтре I



Итоговый шаблон



Функция фита

Оказывается, что практически все кривые блеска в данном фильтре можно привести к стандартной кривой простым сжатием или растяжением по оси времени.

Параметр сжатия (width factor) для кривой блеска произвольной сверхновой можно определить, фитировав её экспериментальные точки с помощью растянутой или сжатой стандартной кривой. Функция фита имеет вид:

$$I = I_0 \left[f \left(\frac{t - t_0}{w} \right) + b \right] \quad (1)$$

Замедление времени

Временные интервалы в системе сверхновой и в системе приёмника отличаются в $1 + z$ раз. До нас доходит уже растянутая кривая блеска.

Тогда width factor $w = s(1 + z)$, где s – stretch-factor: величина, распределённая около единицы.

Фитирование

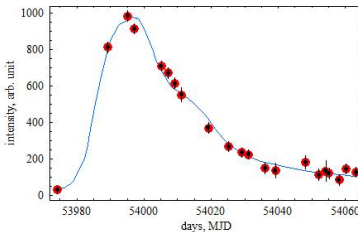
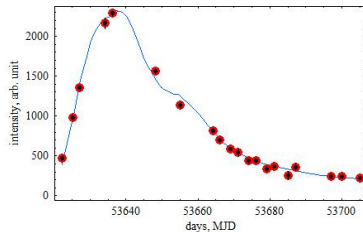
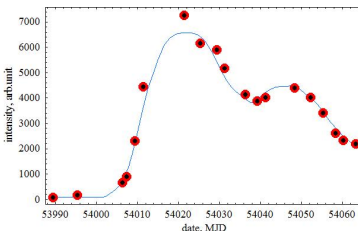
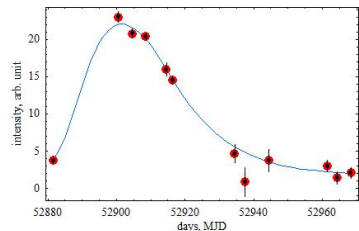
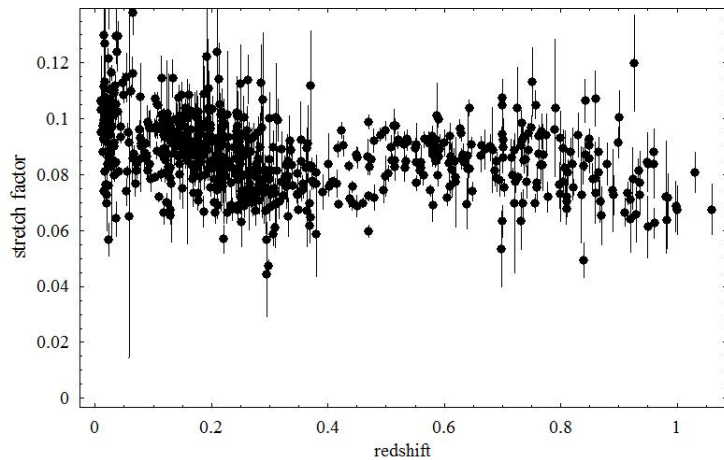


График зависимости stretch-factor от красного смещения

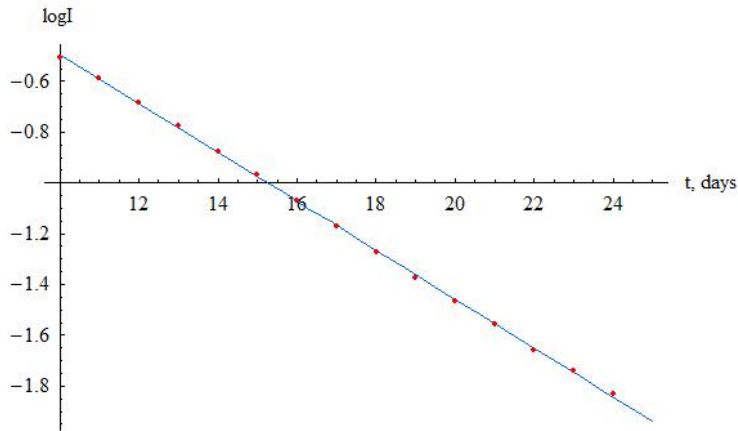


Связь stretch-factor с постоянной распада

Спад кривой блеска обеспечивается распадами сначала ^{56}Ni , а затем ^{56}Co – две экспоненты.

Тогда по кривой блеска легко определить постоянную распада:
 $\lambda : I \sim \exp(-\lambda t)$

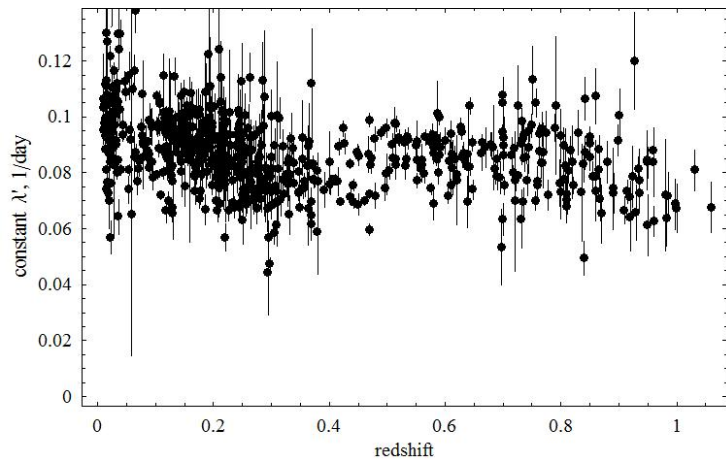
Определим λ для стандартной кривой ($s = 1$). Очевидно, $\lambda \sim s$
(растяжение по оси времени!)



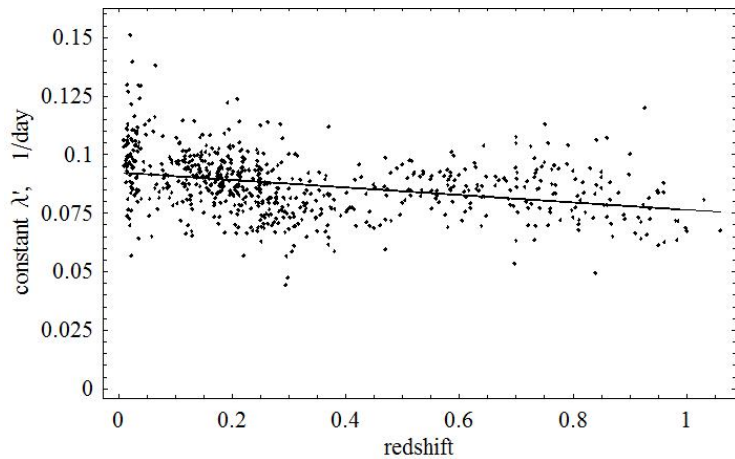
$$\lambda'_{st} = 0.0964 \pm 0.0005 \quad (2)$$

Меньше земного значения ($\lambda = 0.11410 \pm 0.00019$).

График зависимости константы λ' от красного смещения



Возможный наклон $\Delta\lambda'$



Вариация λ и G_F

$$\Delta\lambda' = 0.0168 \pm 0.0019 \quad (3)$$

$$\frac{\Delta\lambda}{\lambda} = -0.182 \pm 0.021 \quad (4)$$

Так как $\frac{\Delta\lambda}{\lambda} = \frac{\Delta\Gamma}{\Gamma} = 2 \frac{\Delta G_F}{G_F}$, то:

$$\frac{\Delta G_F}{G_F} = -0.091 \pm 0.010 \quad (5)$$

Ограничения вариации λ , G_F , v

$$\left| \frac{\Delta \lambda}{\lambda} \right| < 0.223 \quad (95\% \text{ CL}) \quad (6)$$

$$\left| \frac{\Delta G_F}{G_F} \right| < 0.111 \quad (95\% \text{ CL}) \quad (7)$$

$$\left| \frac{\Delta v}{v} \right| < 0.056 \quad (95\% \text{ CL}) \quad (8)$$

Заключение

В работе было получено ограничение на вариацию константы распада ^{56}Ni , константы Ферми и вакуумного среднего поля Хиггса, исходя из экспериментальных данных по сверхновым типа Ia. Непосредственный результат работы — ограничение вариации константы распада ^{56}Ni — лучшее ограничение пространственно-временной вариации данной величины. Оно может быть использовано для наложения ограничений на модели физики вне СМ и ОТО.

Спасибо за внимание!